

X (a,b) Y

$$^{14}N_7 + {}_{2}^{4}He_2 \rightarrow {}_{8}^{17}O_9 + {}_{1}^{1}H_9$$

- Megmaradási törvények
- Energia (a reakció Q-értéke)
- Az impulzus
- Az impulzusmomentum
- Töltés, barionszám, paritás

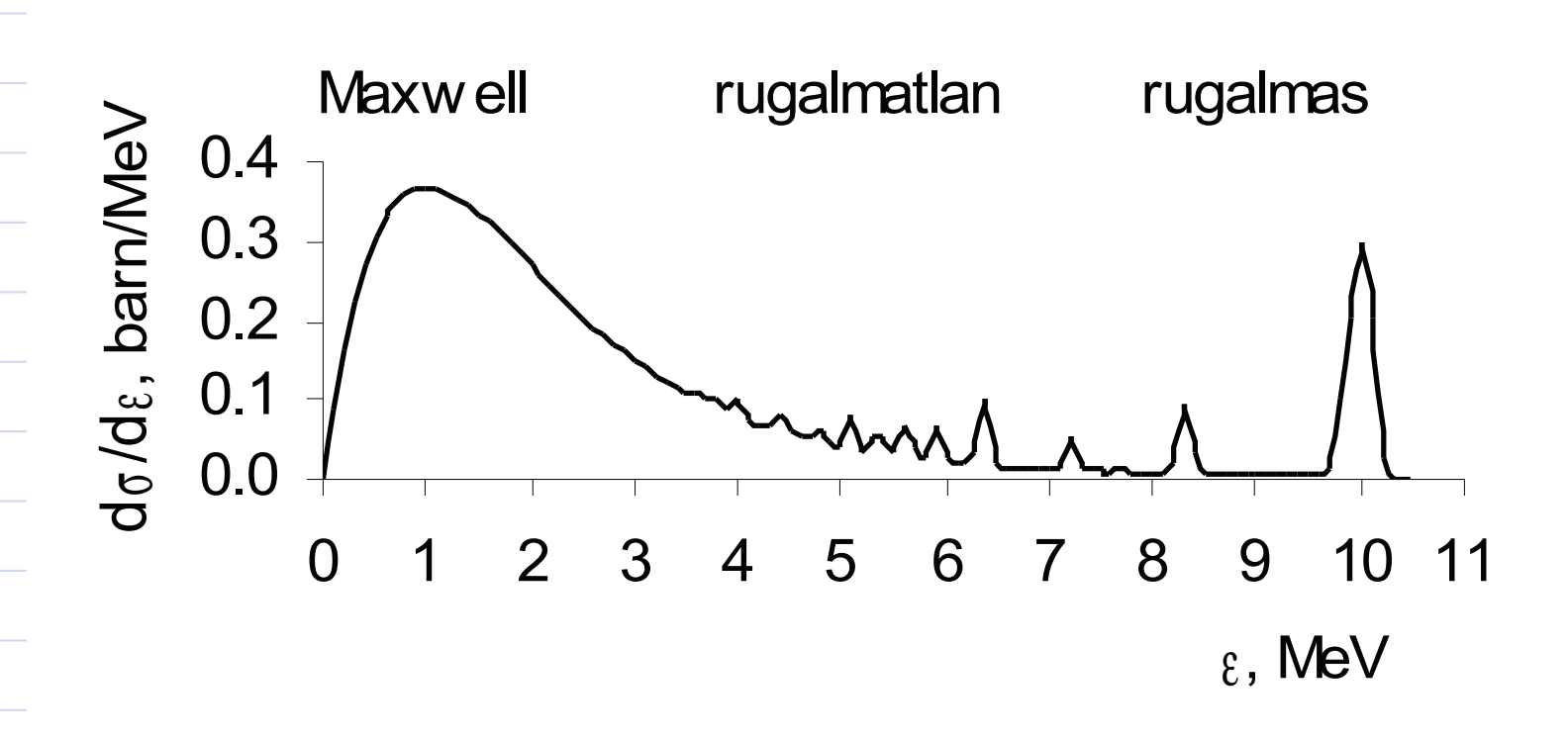
10-09-28

Magfizika

A magreakciók típusai (a bombázó részek szerint)

- Neutron
- *Könnyűion (p, d, alfa, 3He, t)
- Nehézion (alfa → U)
- Radioaktív nyalábok
- Foton, elektron, neutrínó, müon, ...

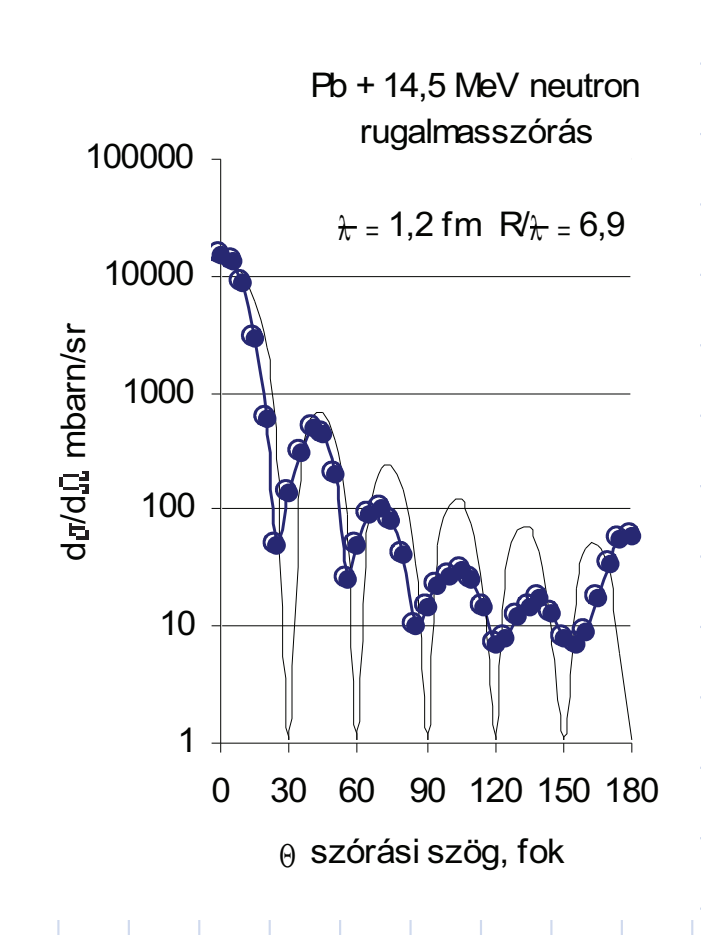
A reakciótermékek energiaspektruma

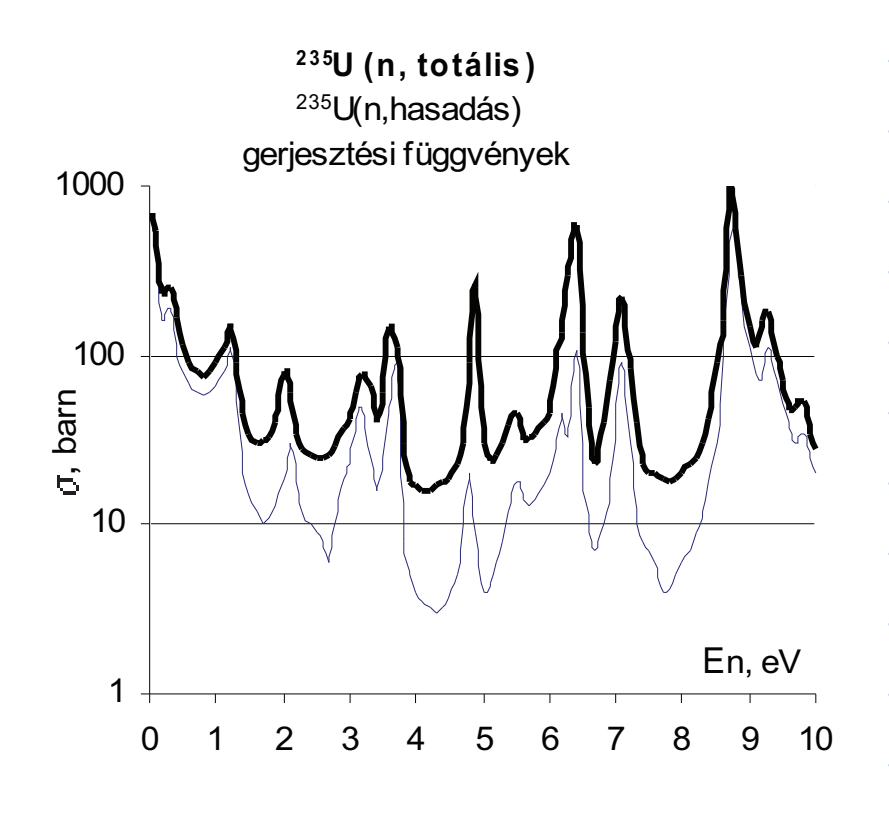


10-09-28

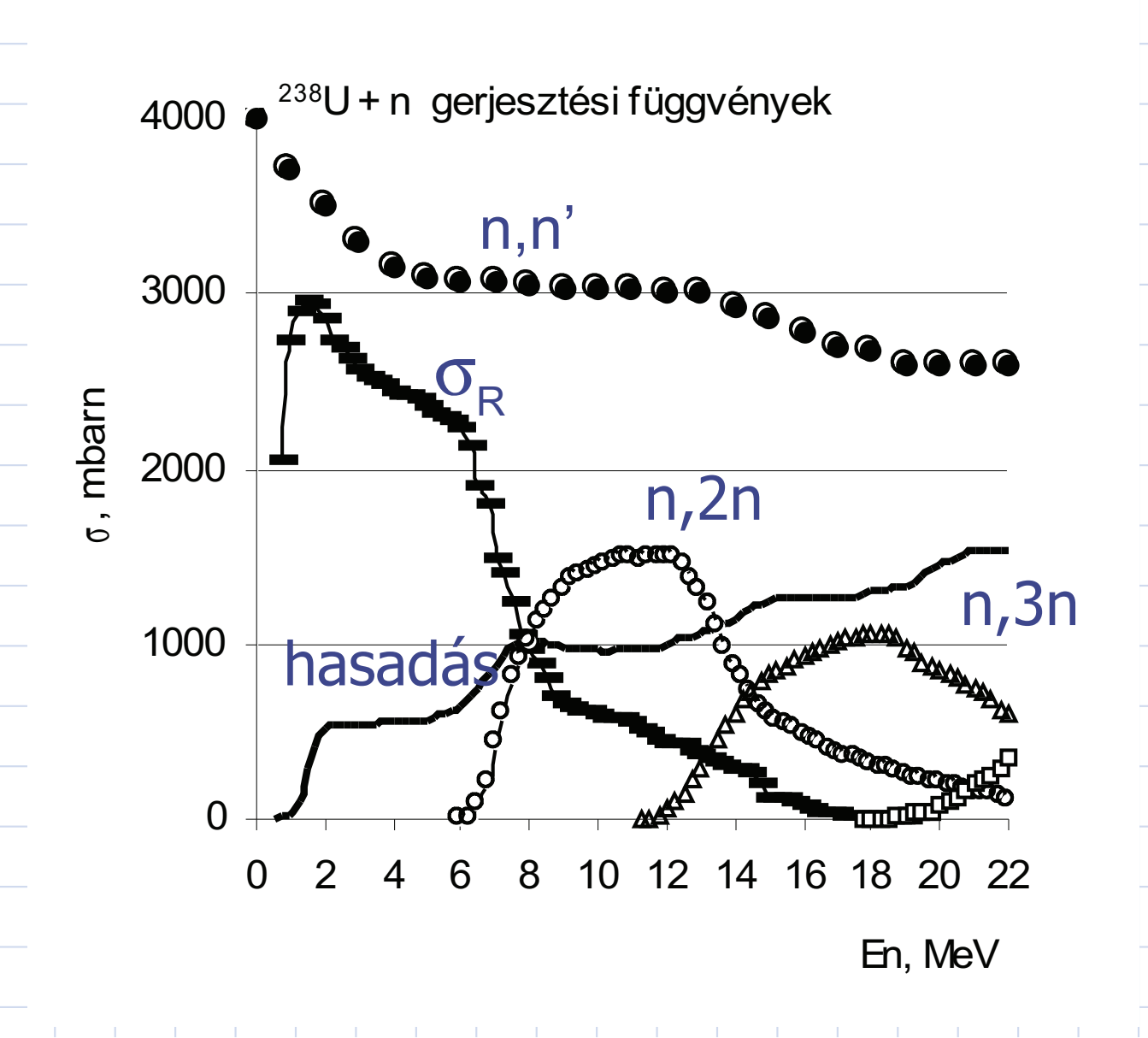
Magfizika

A termékek szögeloszlása





A reakció gerjesztési függvénye



6

A közbensőmag modell

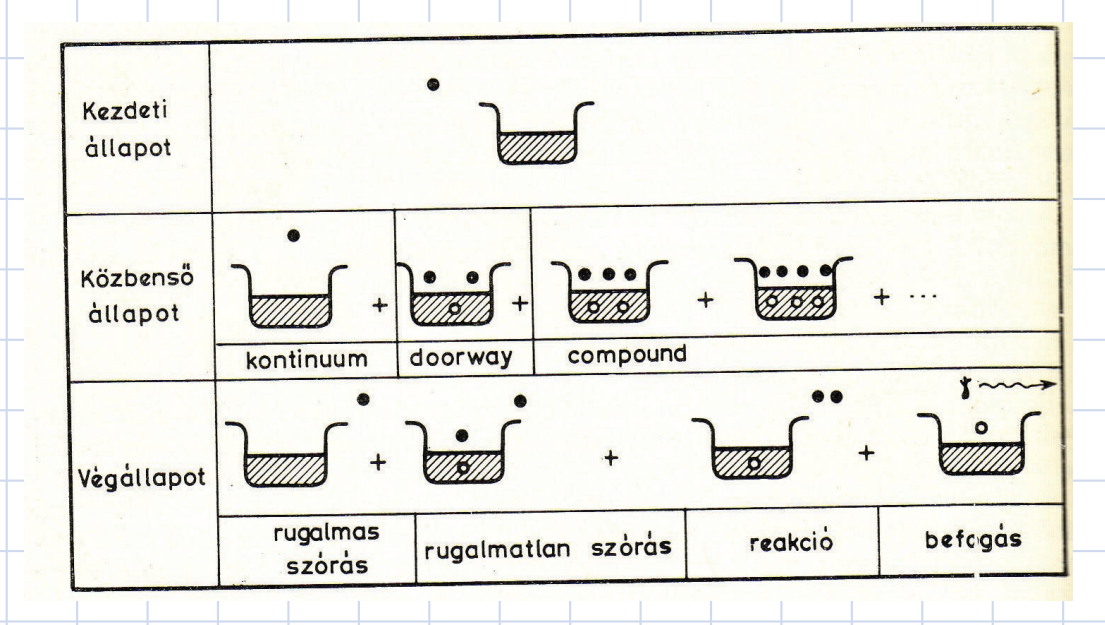
- Keskeny rezonanciák -> nagy élettartam, ~ 10⁻¹⁶ s
- Maxwell-eloszlású részecskespektrum
 - párolgó folyadékcsepp
- Izotróp szögeloszlás
- Keletkezéstől független bomlási módok

10-09-28

Magfizika

A KM kialakulása

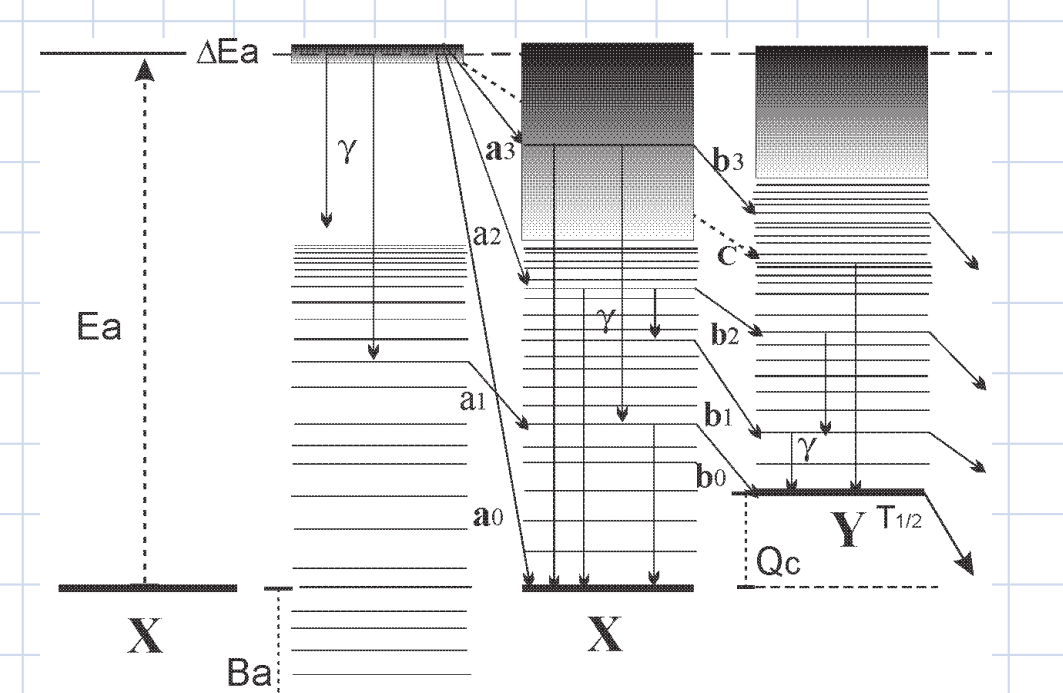
- Egyensúlyi állapot
- Kicsi az egy nukleonra jutó energia
- A KM elfelejtette a keletkezését



... és bomlása



$$G_k = \Gamma_k / \Sigma_k \Gamma_k$$



X + a

X (a,z)Yz = a, b, c, ...

10-09-28

Magfizika

A rezonanciák leírása

A Breit-Wigner formalizmus

$$\sigma_{R} = \pi \cdot \lambda^{2} \Gamma_{R} \Gamma_{S} / [(\Gamma / 2)^{2} + (E - E_{0})^{2}],$$

$$\sigma_{s} = 4\pi \cdot \lambda^{2} + [exp(i\cdot k\cdot R)] \cdot [sin(k\cdot R)] + (\Gamma_{s}/2)/[i\cdot \Gamma/2 + (E-E_{0})] \cdot [sin(k\cdot R)] + (\Gamma_{s}/2)/[i\cdot \Gamma/2$$

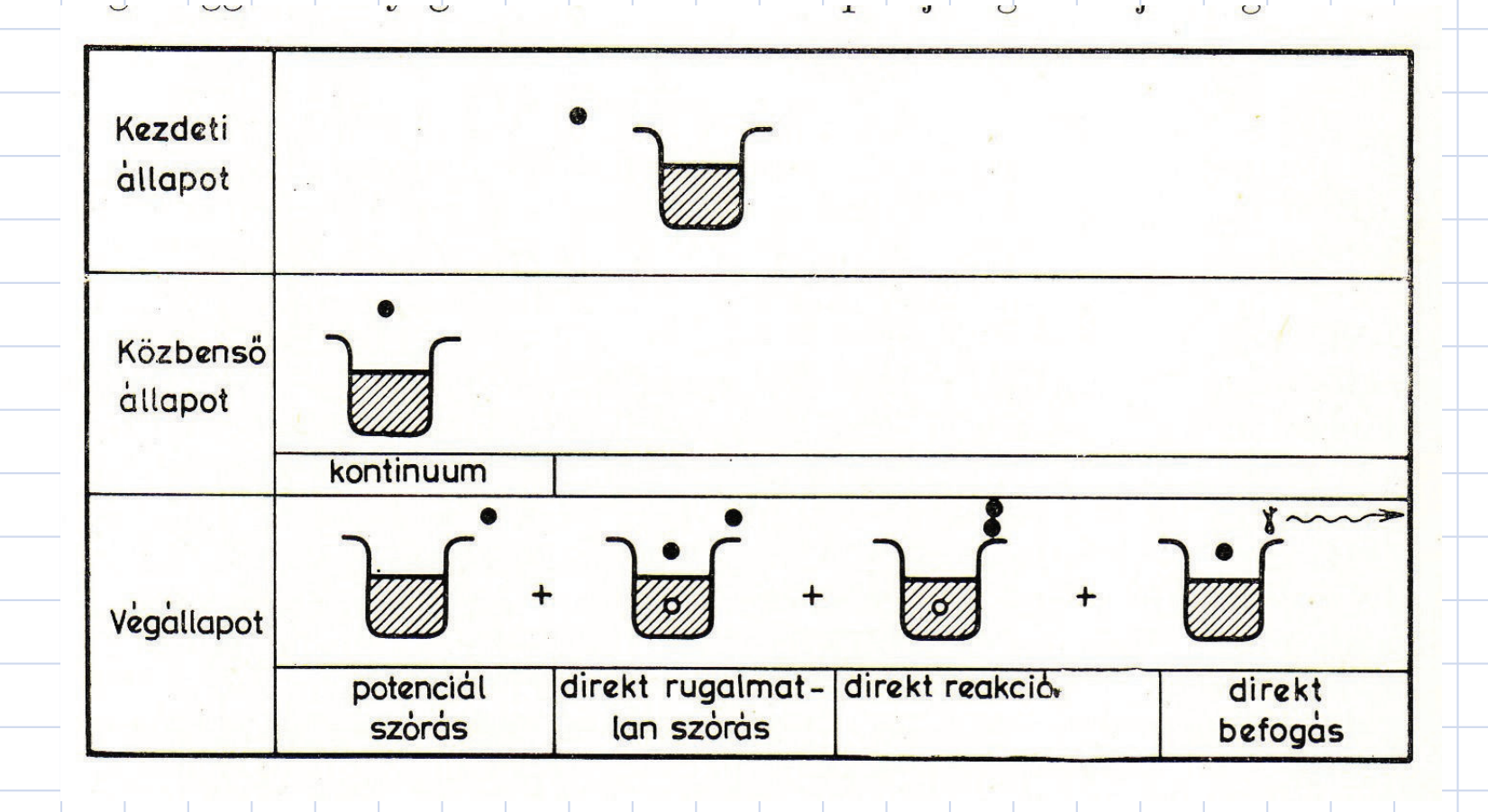
10-09-28

Magfizika

Direkt reakciók

- Előreirányuló és diffrakciós szögeloszlás
- *gyors szórási folyamatok, rugalmas és rugalmatlan
- *kiütés*, "knock-out": (p,n), (n,p), (α,p)
- * felcsípés, "pick-up": (p,d), (n,d), (³H,α)
- *vetkőztetés, "stripping": (d,p), (d,n), (3H,d),
- Az optikai modell

Sematikus modell

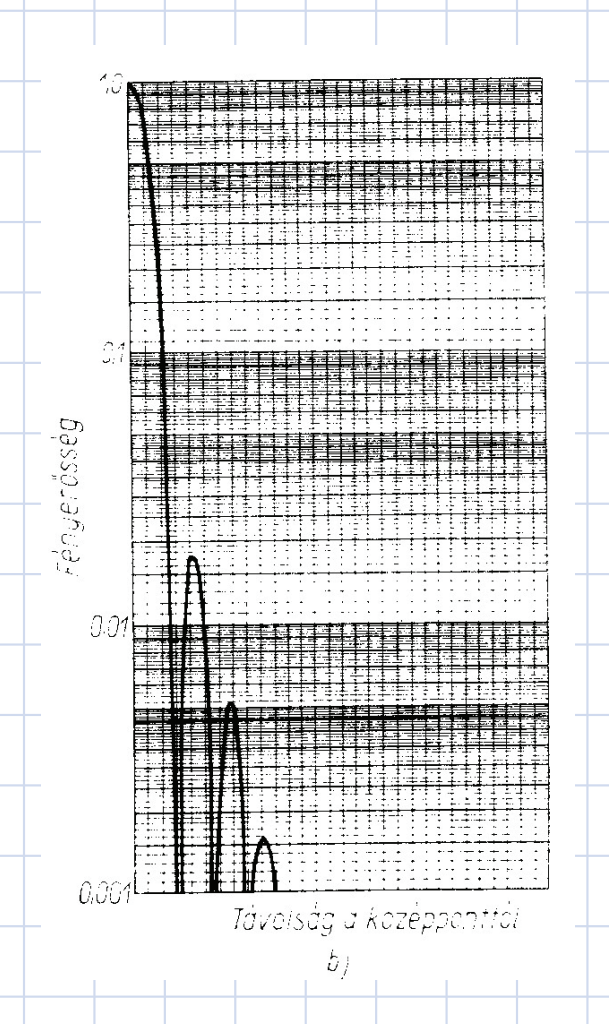


10-09-28

Magfizika

Optikai analógia

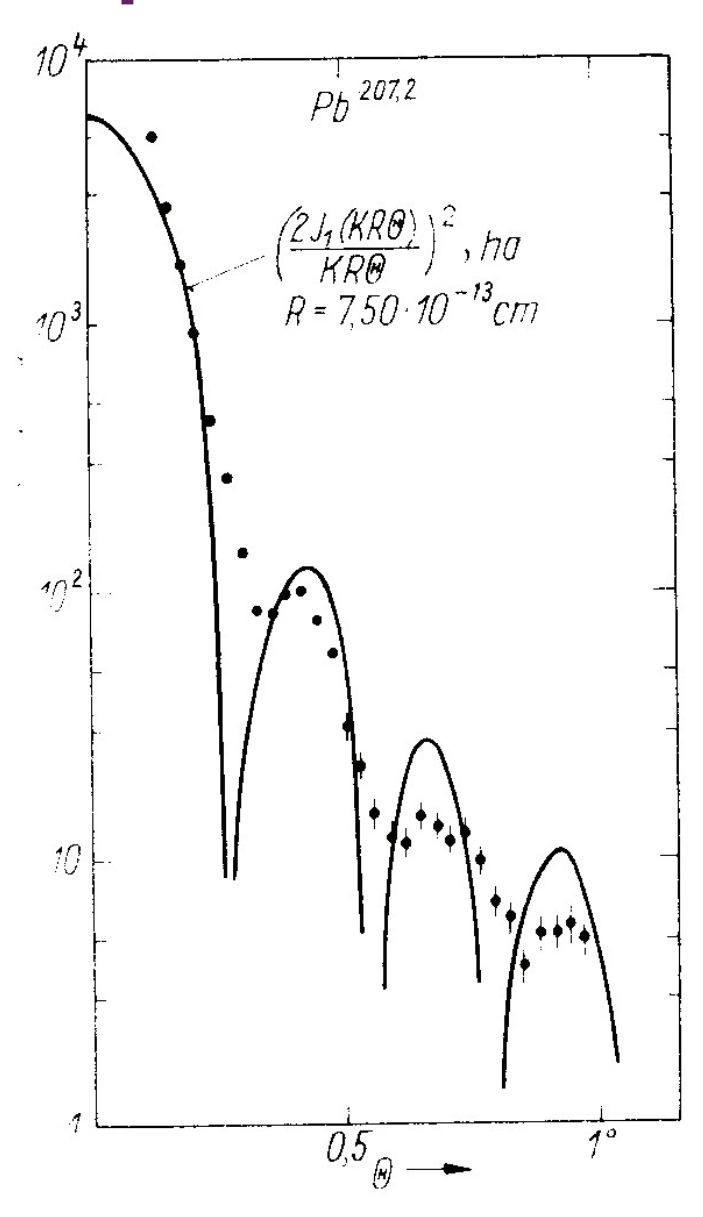




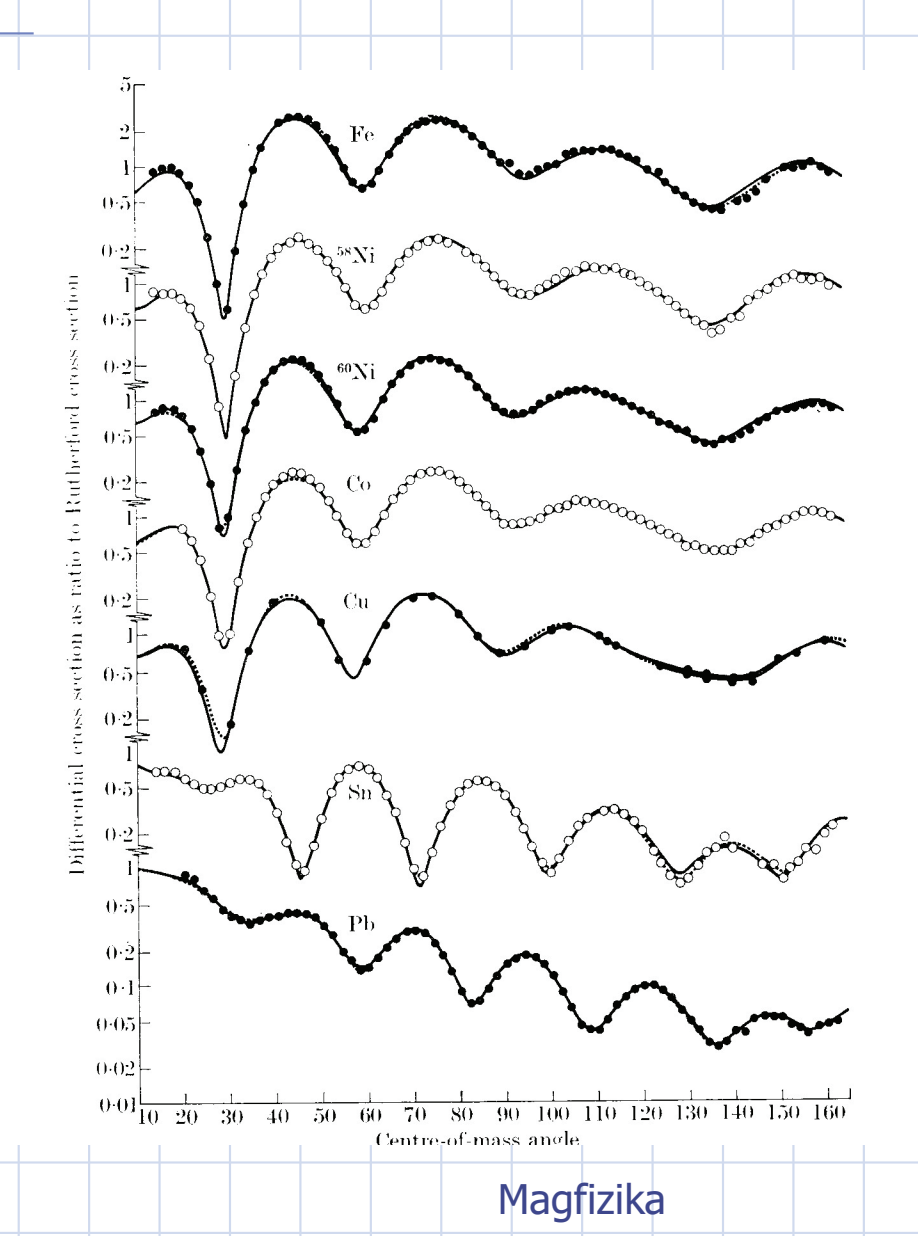
10-09-28

Magfizika

19 GeV-es protonok szóródása

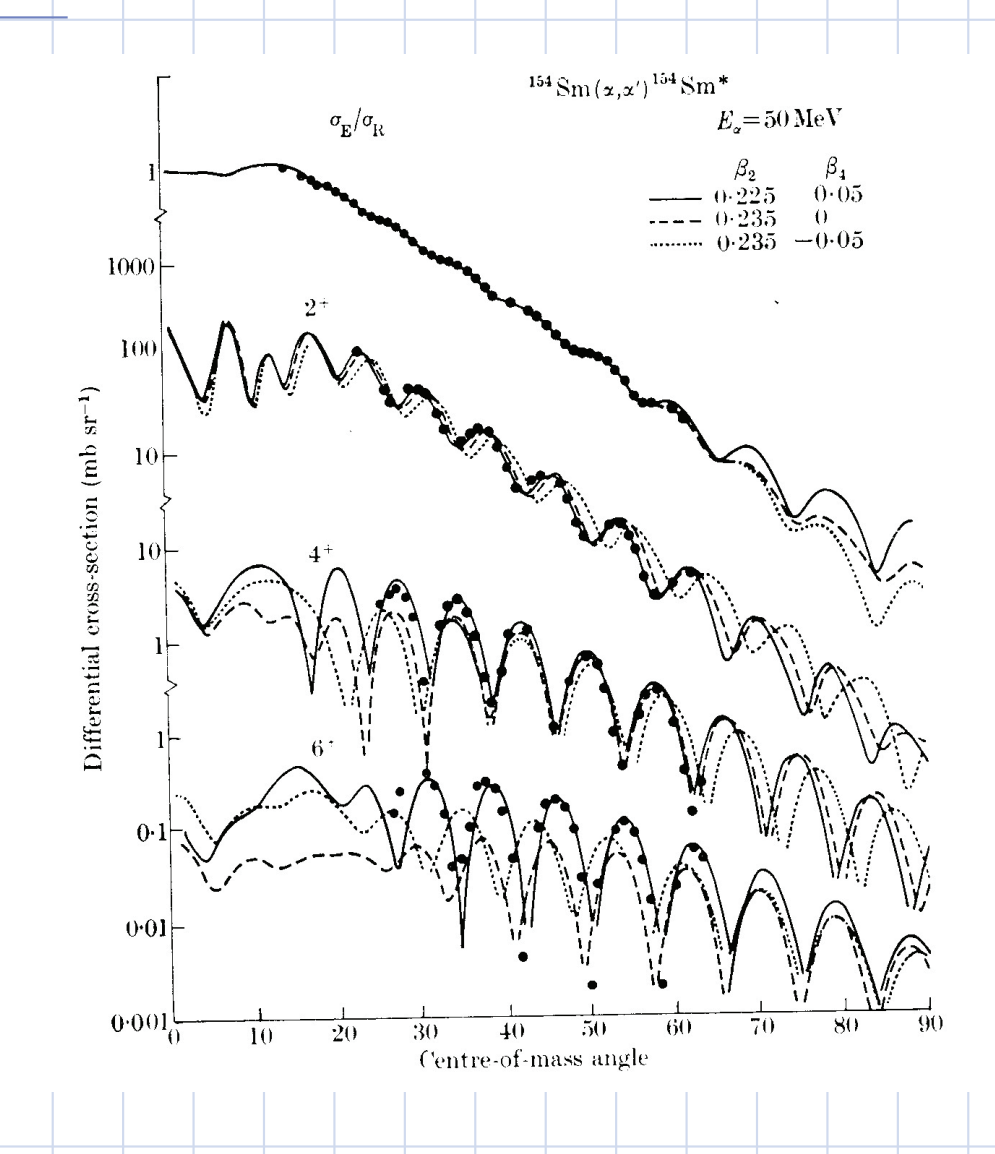


Kisenergiás protonok szóródása



15

Alfa-részek rugalmatlan szóródása



Magfizika

16

Magreakciók deuteronokkal

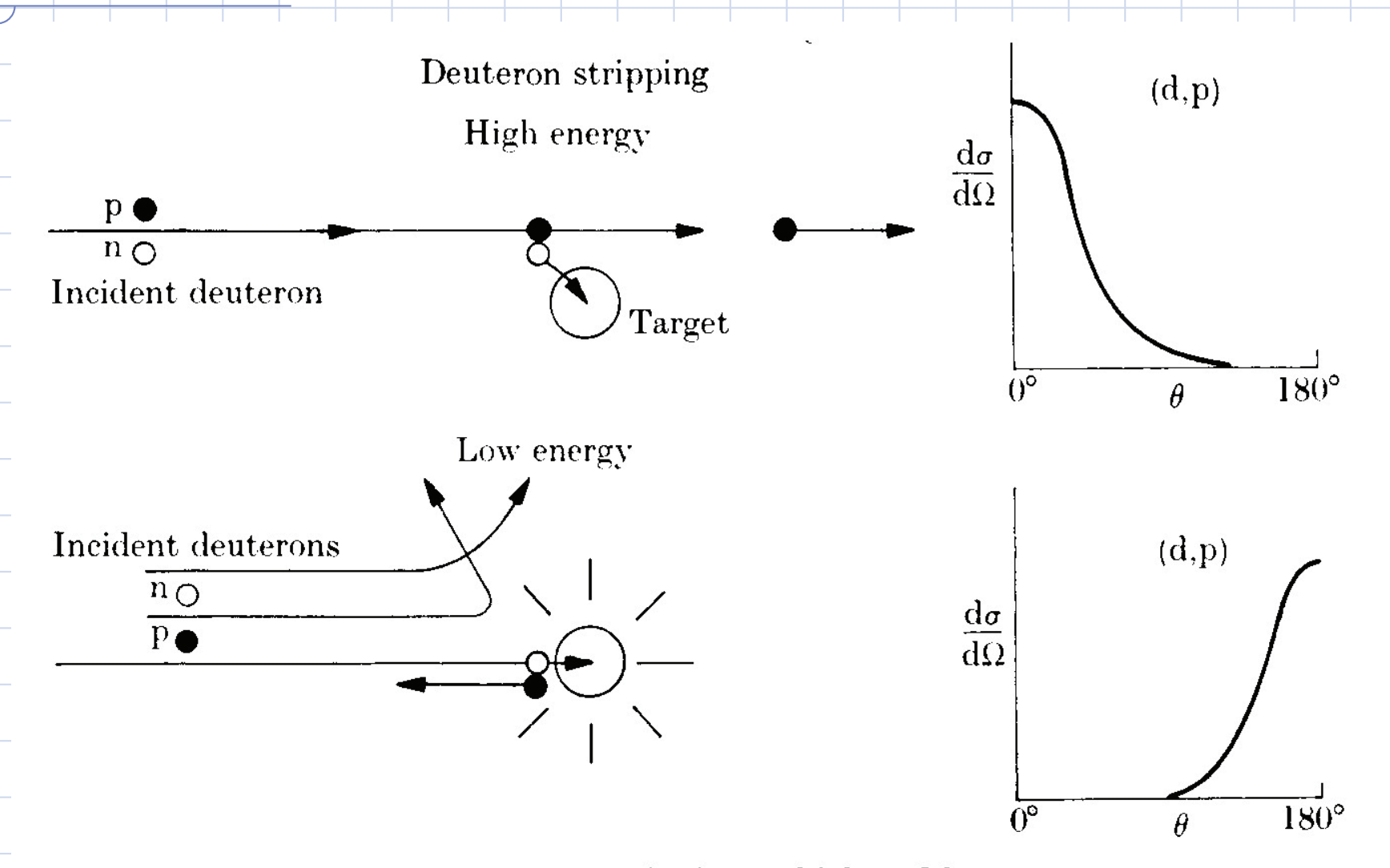


Fig. 15.2. Deuteron stripping at high and low energy.

10-09-28

Magfizika

A spektroszkópiai faktor

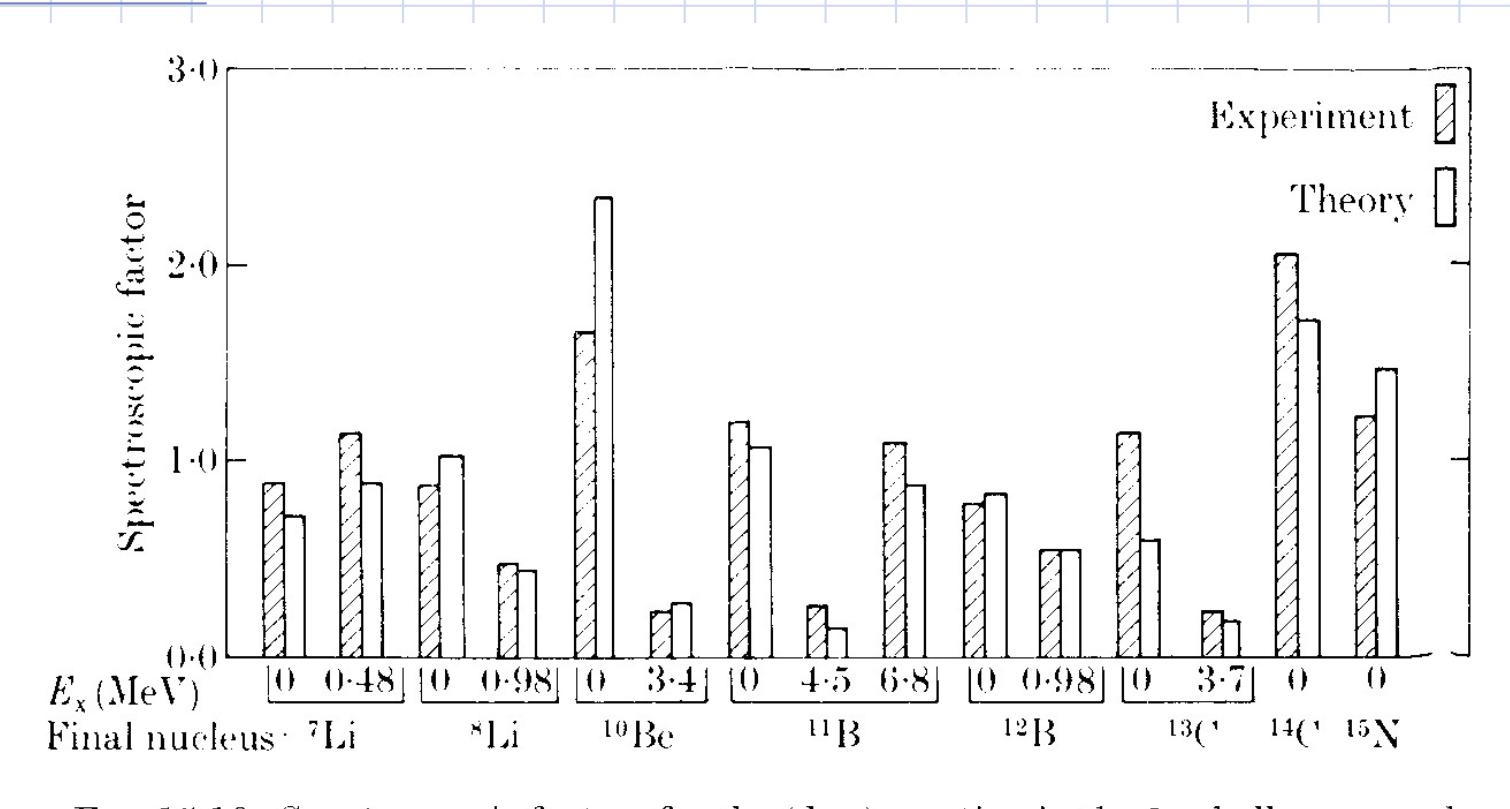
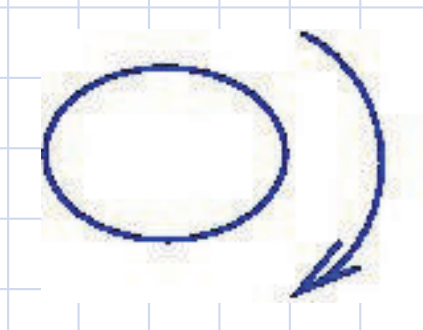


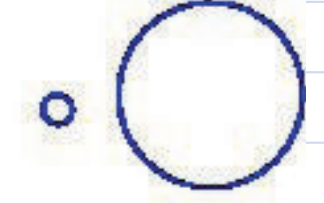
Fig. 15.16. Spectroscopic factors for the (d, p) reaction in the 1p shell compared with the theoretical values of S. Cohen and D. Kurath, Nucl. Phys. 73, 1, 1965. (G. C. Morrison, J. P. Schiffer, R. H. Siemssen, and B. Zeidman, Tokyo Conference, p. 688, 1968.)

10-09-28

Magfizika

Kollektív és egyrészecskés gerjesztések az atommagban





10-09-28

Magfizika

Table of Isotopes

EIGHTH EDITION

by Richard B. Firestone

Virginia S. Shirley Editor
Coral M. Baglin and Jean Zipkin Assistant Editors
S.Y. Frank Chu CD-ROM Editor

